

УДК 539.375

ЗАРОЖДЕНИЕ ТРЕЩИНЫ В ПЕРФОРИРОВАННОМ ТЕЛЕ ПРИ ПРОДОЛЬНОМ СДВИГЕ

С. М. Гулиев

Азербайджанский государственный педагогический университет,
AZ1000 Баку, Азербайджан
E-mail: salehm@rambler.ru

Рассматривается задача механики разрушения о зарождении трещин, исходящих из контуров круговых отверстий перфорированного изотропного тела при продольном сдвиге. Решение задачи о равновесии перфорированного тела при продольном сдвиге с зонами предразрушения сводится к решению одной бесконечной алгебраической системы и нелинейного сингулярного интегродифференциального уравнения с ядром типа ядра Коши. Из решения этих уравнений находятся усилия в зонах зарождения трещин. Условие появления трещины формулируется с учетом критерия предельного разрыва смещений материала.

Ключевые слова: перфорированное тело, зона предразрушения, связи между берегами.

Постановка задачи. Рассматривается изотропная упругая среда, ослабленная двоякопериодической системой круговых отверстий, симметричных относительно осей координат и имеющих радиусы $\lambda < 1$ и центры в точках (рис. 1)

$$P_{m,n} = m\omega_1 + n\omega_2 \quad (m = 0, \pm 1, \pm 2, \dots, \quad n = 0, \pm 1, \pm 2, \dots),$$

$$\omega_1 = 2, \quad \omega_2 = 2h e^{i\alpha}, \quad h > 0, \quad \text{Im } \omega_2 > 0.$$

Полагается, что контуры круговых отверстий свободны от внешних нагрузок. Имеет место антиплоская деформация: на бесконечной плоскости, перпендикулярной оси y , вдоль осей отверстий действует касательное напряжение τ_y^∞ (продольный сдвиг на бесконечности).

По мере увеличения интенсивности внешних нагрузок в теле вокруг отверстий образуются зоны повышенных напряжений, расположение которых имеет двоякопериодический характер. При возрастании τ_y^∞ на поверхности отверстий возникают зоны предразрушения, которые моделируются областями с ослабленными межчастичными связями в материале. Взаимодействие берегов этих областей моделируется путем введения между берегами связей с заданной диаграммой деформирования.

В силу симметрии граничных условий и геометрии области D , занятой материалом среды, напряжения являются двоякопериодическими функциями с основными периодами ω_1 и ω_2 .

Как известно, при антиплоской деформации поле напряжений и смещений можно описать с помощью одной аналитической функции комплексной переменной $z = x + iy$ [1].

Считается, что из контуров круговых отверстий исходят симметричные прямолинейные зоны предразрушения, направленные вдоль оси абсцисс. В рассматриваемом случае

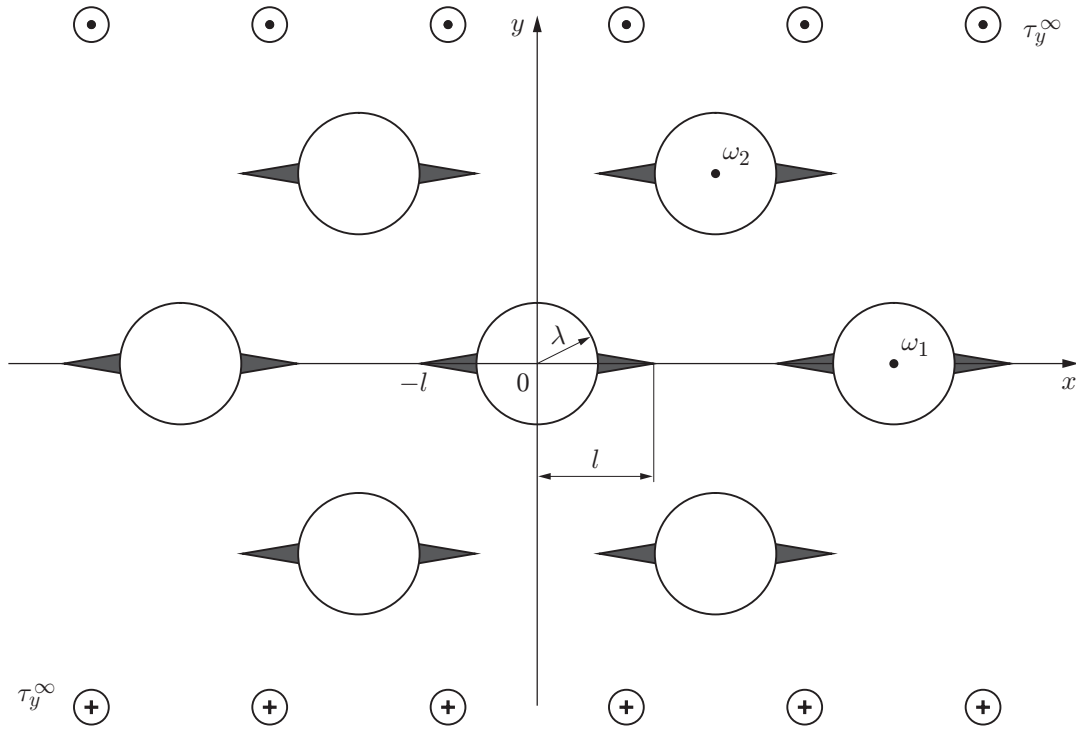


Рис. 1. Расчетная схема задачи механики разрушения о зарождении трещин в перфорированном теле

возникновение зародышевых трещин в перфорированном теле представляет собой процесс перехода области предразрушения в область разорванных связей между поверхностями материала. При этом размер зоны предразрушения заранее не известен и должен быть определен в процессе решения задачи. При действии внешней нагрузки на перфорированное тело в связях, соединяющих берега зон предразрушения, возникают касательные усилия $q_y(x)$. Эти напряжения заранее не известны и подлежат определению в процессе решения краевой задачи механики разрушения.

С использованием соотношений [1] и граничных условий на контурах круговых отверстий и берегах прямолинейных зон предразрушения задача сводится к определению одной аналитической функции $F(z)$ из краевых условий

$$F(\tau) e^{i\theta} - \overline{F(\tau)} e^{-i\theta} = 0, \quad F(x) - \overline{F(x)} = -2iq_y(x) \quad \text{на } L, \quad (1)$$

где $\tau = \lambda e^{i\theta} + m\omega_1 + n\omega_2$ ($m = 0, \pm 1, \pm 2, \dots, n = 0, \pm 1, \pm 2, \dots$); x — аффикс точек берегов зон предразрушения, направленных вдоль оси абсцисс.

Основные соотношения поставленной задачи необходимо дополнить соотношениями, связывающими разрыв смещений зон предразрушения и усилия в связях. Без потери общности эти соотношения представим в виде

$$w^+(x, 0) - w^-(x, 0) = C(x, q_y(x))q_y(x), \quad (2)$$

где функцию $C(x, q_y(x))$ можно рассматривать как эффективную податливость связей; $w^+ - w^-$ — разрыв смещений зоны предразрушения.

Для определения предельной величины внешней нагрузки, при которой происходит зарождение трещины, постановку задачи необходимо дополнить условием (критерием) появления трещины (разрыва межчастичных связей в материале). В качестве такого условия

примем критерий критического разрыва смещений зоны предразрушения

$$w^+ - w^- = \delta_c, \quad (3)$$

где δ_c — характеристика сопротивления материала перфорированного тела трещинообразованию.

Решение краевой задачи. Решение краевой задачи (1) будем искать в виде

$$F(z) = F_1(z) + F_2(z); \quad (4)$$

$$F_1(z) = \tau_y^\infty + \sum_{k=0}^{\infty} \alpha_{2k+2} \frac{\lambda^{2k+2} \gamma^{(2k)}(z)}{(2k+1)!}, \quad F_2(z) = \frac{1}{\pi i} \int_L g(t) \zeta(t-z) dt + A \quad (5)$$

(интегралы в (5) берутся по линии $L = \{[-l, -\lambda] + [\lambda, l]\}$).

Функция $\gamma(z)$ называется эллиптической функцией Вейерштрасса [2]; $\zeta(z)$ — ζ -функция Вейерштрасса; $g(t)$ — искомая функция, характеризующая разрыв смещений зон предразрушения:

$$g(x) = \frac{\mu}{2} \frac{d}{dx} [w^+(x, 0) - w^-(x, 0)] \quad \text{на } L$$

(μ — постоянная материала среды).

Неизвестная функция $g(x)$ и искомые постоянные α_{2k} определяются из краевых условий (1).

Для вывода уравнений относительно коэффициентов α_{2k+2} функции $F_1(z)$ первое краевое условие (1) преобразуем к виду

$$F_1(\tau) e^{i\theta} - \overline{F_1(\tau)} e^{-i\theta} = i f_2(\theta), \quad (6)$$

где $i f_2(\theta) = -F_2(\tau) e^{i\theta} + \overline{F_2(\tau)} e^{-i\theta}$.

Для решения краевой задачи (6) применим метод степенных рядов. Будем считать, что функция $i f_2(\theta)$ на контуре $|\tau| = \lambda$ разлагается в ряд Фурье. В силу симметрии задачи этот ряд имеет вид

$$i f_2(\theta) = \sum_{k=-\infty}^{\infty} A_{2k+1} e^{(2k+1)i\theta}, \quad \operatorname{Re} A_{2k+1} = 0; \quad (7)$$

$$A_{2k+1} = \frac{1}{2\pi} \int_0^{2\pi} i f_2(\theta) e^{-(2k+1)i\theta} d\theta \quad (k = 0, \pm 1, \pm 2, \dots).$$

Подставив в последнее соотношение (7) выражение для $i f_2(\theta)$ и поменяв порядок интегрирования, после вычисления интегралов с помощью теории вычетов находим

$$A_{2k+1} = -\frac{1}{\pi i} \int_L g(t) f_{2k+1}(t) dt. \quad (8)$$

В соотношении (8) функции $f_{2k+1}(t)$ определяются соотношениями

$$f_{2k}(t) = \frac{\lambda^{2k}}{(2k)!} \zeta^{2k}(t) - \frac{\lambda^{2k+2}}{(2k+1)!} \zeta^{(2k+2)}(t).$$

Подставляя в левую часть краевого условия (6) вместо функций $F_1(\tau)$, $\overline{F_1(\tau)}$ их разложения в ряды Лорана в окрестности нулевой точки $z = 0$, а в правую часть (6) вместо функции $i f_2(\theta)$ — ряд Фурье (7) и приравнявая коэффициенты при одинаковых степенях

$\exp(i\theta)$ в обеих частях, получаем бесконечную систему алгебраических уравнений относительно коэффициентов α_{2j+2}

$$\begin{aligned} \sum_{j=0}^{\infty} \alpha_{2j+2} \lambda^{2j+2} r_{0,j} + \alpha_0 - \alpha_2 &= A_1, \\ \sum_{j=0}^{\infty} \alpha_{2j+2} \lambda^{2j+2} r_{n,j} \lambda^{2n} - \alpha_{2j+2} &= A_{2n+1}. \end{aligned} \quad (9)$$

Здесь

$$\begin{aligned} r_{n,j} &= \frac{(2n+2j+1)!}{(2n)!(2j+1)!} \frac{g_{n+j+1}}{2^{2n+2j+2}}, \quad r_{0,0} = 0, \\ g_{n+j+1} &= \sum'_{m,n} \frac{1}{T^{2n+2j+2}}, \quad T = \frac{1}{2} P_{mn}, \end{aligned}$$

штрих означает, что при суммировании исключаются индексы $m = n = 0$.

Требую, чтобы функции (4) удовлетворяли краевому условию на берегах зоны предразрушения L , для определения неизвестной функции $g(x)$, характеризующей разрыв смещений зоны предразрушения при переходе через линию L , получаем сингулярное интегральное уравнение относительно функции $g(x)$

$$\frac{1}{\pi} \int_L g(t) \zeta(t-x) dt - \operatorname{Im} [A + F_1(x)] = q_y(x) \quad \text{на } L, \quad (10)$$

где t — аффикс точек берегов зоны предразрушения L , направленных по оси абсцисс.

Система алгебраических уравнений (9) и сингулярное уравнение (10) являются основными разрешающими уравнениями задачи, позволяющими определить искомую функцию $g(x)$ и коэффициенты α_{2k+2} . Определив функции $F_1(z)$, $g(x)$, можно найти напряженно-деформированное состояние перфорированного тела при наличии зон предразрушения.

Методика численного решения и анализ. Используя в основном параллелограмме периодов разложение

$$\zeta(z) = \frac{1}{z} - \sum_{j=1}^{\infty} \frac{g_{j+1} z^{2j+1}}{2^{2j+1}},$$

сингулярное интегральное уравнение (10) после ряда преобразований представим в форме

$$\frac{1}{\pi} \int_L \frac{g(t) dt}{t-x} + \frac{1}{\pi} \int_L g(t) K_0(t-x) dt - \operatorname{Im} [A + F_1(x)] = q_y(x); \quad (11)$$

$$K_0(t) = \sum_{j=1}^{\infty} g_{j+1} \frac{t^{2j+1}}{2^{2j+1}}.$$

Преобразуем интегральное уравнение (11) к виду, более удобному для нахождения приближенного решения. Учитывая, что $g(x) = -g(-x)$, и используя замену переменных, уравнение (11) представим в виде

$$\frac{2}{\pi} \int_{\lambda_1}^1 \frac{\xi p(\xi)}{\xi^2 - \xi_0^2} d\xi + \frac{1}{\pi} \int_{\lambda_1}^1 K_0^0(\xi, \xi_0) p(\xi) d\xi = \operatorname{Im} [A + F_1(\xi_0)] + q_y(\xi_0),$$

где

$$\xi_0 = \frac{x}{l}, \quad \lambda_1 = \frac{\lambda}{l}, \quad p(\xi) = g(t), \quad \xi = \frac{t}{l}, \quad \lambda_1 \leq \xi_0 \leq 1,$$

$$K_0^0(\xi, \xi_0) = K_0(\xi - \xi_0) + K_0(\xi + \xi_0).$$

Проведем еще одну замену переменных:

$$\xi^2 = u = \frac{1 - \lambda_1^2}{2} (\tau + 1) + \lambda_1^2, \quad \xi_0^2 = u_0 = \frac{1 - \lambda_1^2}{2} (\eta + 1) + \lambda_1^2.$$

При такой замене переменных отрезок интегрирования переходит в отрезок $[-1, 1]$, а преобразованное интегральное уравнение (11) принимает стандартную форму

$$\frac{1}{\pi} \int_{-1}^1 \frac{p(\tau) d\tau}{\tau - \eta} + \frac{1}{\pi} \int_{-1}^1 p(\tau) B(\eta, \tau) d\tau = \text{Im} [A + F_1(\eta)] + q_y(\eta), \quad (12)$$

где

$$B(\eta, \tau) = -\frac{1 - \lambda_1^2}{2} \sum_{j=0}^{\infty} g_{j+1} \left(\frac{l}{2}\right)^{2j+2} u_0^j A_j,$$

$$A_j = \left[(2j+1) + \frac{(2j+1)(2j)(2j-1)}{1 \cdot 2 \cdot 3} \left(\frac{u}{u_0}\right) + \dots \right. \\ \left. \dots + \frac{(2j+1)(2j)(2j-1) \dots [(2j+1) - (2j+1-1)]}{1 \cdot 2 \cdot \dots \cdot (2j+1)} \left(\frac{u}{u_0}\right)^j \right].$$

Поскольку в перфорированном теле напряжения ограничены, решение сингулярного интегрального уравнения (12) следует искать в классе всюду ограниченных функций. Представим это решение в виде

$$p(\eta) = p_0(\eta) \sqrt{1 - \eta^2},$$

где $p_0(\eta)$ — новая неизвестная регулярная функция.

Используя квадратурные формулы, интегральное уравнение (12) можно свести к системе $M + 1$ алгебраических уравнений

$$\sum_{m=1}^M \frac{p_0(\tau_m)}{M+1} \sin^2 \frac{\pi m}{M+1} \left(\frac{1}{\tau_m - \eta_r} + B(\tau_m, \eta_r) \right) = \pi [H(\eta_r) + q_y(\eta_r)] \quad (13)$$

$$(r = 1, 2, \dots, M+1).$$

Здесь

$$\tau_m = \cos \frac{\pi m}{M+1} \quad (m = 1, 2, \dots, M), \quad H(\eta_r) = \text{Im} [A + F_1(\eta_r)],$$

$$\eta_r = \cos \frac{2r-1}{2(M+1)} \pi \quad (r = 1, 2, \dots, M+1).$$

Алгебраическая система $M + 1$ уравнений (13) для определения неизвестных $p_0(\tau_1), p_0(\tau_2), \dots, p_0(\tau_M)$ и $(l - \lambda)/\lambda$ удовлетворяет дополнительному условию, при котором существует решение в классе всюду ограниченных функций (см. [3. С. 75]).

В правую часть системы (13) входят неизвестные значения напряжений $q_y(\eta_r)$ в узловых точках, принадлежащих зоне предразрушения L . Неизвестное напряжение в связях,

возникающее на берегах зоны предразрушения L , определяется из дополнительного условия (2). Используя полученное решение, соотношение (2) можно записать в виде

$$g(x) = \frac{\mu}{2} \frac{d}{dx} [C(x, q_y(x))q_y(x)]. \quad (14)$$

Уравнение (14) позволяет определить усилия $q_y(x)$ в связях в зоне предразрушения L . Представим данное соотношение в виде

$$-\frac{2}{\mu} \int_l^x g(x) dx = C(x, q_y(x))q_y(x). \quad (15)$$

Для построения недостающих уравнений потребуем выполнения условий (15) в узловых точках, содержащихся в зоне предразрушения (λ, l) . В результате получаем алгебраическую систему M уравнений для нахождения приближенных значений $q_y(\eta_m)$ ($m = 1, 2, \dots, M$):

$$\begin{aligned} C_0 p_0(\eta_1) &= C(\eta_1, q_y(\eta_1))q_y(\eta_1), \\ C_0(p_0(\eta_1) + p_0(\eta_2)) &= C(\eta_2, q_y(\eta_2))q_y(\eta_2), \\ &\dots\dots\dots \\ C_0 \sum_{m=1}^M p_0(\eta_m) &= C(\eta_M, q_y(\eta_M))q_y(\eta_M), \end{aligned} \quad (16)$$

где $C_0 = -2\pi(l - \lambda)/(\mu M)$.

Поскольку размер зоны предразрушения l не известен, объединенная алгебраическая система уравнений (9), (13), (16) является нелинейной даже при линейных связях. Для ее решения используется метод последовательных приближений [4], суть которого заключается в следующем. Решаем объединенную алгебраическую систему при некотором определенном значении l_* относительно остальных неизвестных, которые входят в объединенную систему линейным образом. Значения l_* и соответствующие значения остальных неизвестных, вообще говоря, не удовлетворяют последнему уравнению системы (13). Поэтому, подбирая значения параметра l , будем многократно повторять вычисления, до тех пор пока последнее уравнение (13) не будет удовлетворяться с заданной точностью. В каждом приближении объединенная алгебраическая система решалась методом Гаусса с выбором главного элемента.

В случае нелинейного закона деформирования связей при определении усилий в зоне предразрушения используется итерационный метод, подобный методу упругих решений [5]. Считается, что при $w^+ - w^- \leq w_*$ закон деформирования межчастичных связей в зоне предразрушения является линейным. Первый шаг итерационного процесса счета состоит в решении системы уравнений для линейно-упругих связей. Следующие итерации выполняются только в случае, если на части зоны предразрушения справедливо неравенство $w^+ - w^- > w_*$. Для таких итераций решается система уравнений в каждом приближении для квазиупругих связей с изменяющейся вдоль берегов зоны предразрушения и зависящей от величины усилий в связях эффективной податливостью, которая вычислена на предыдущем шаге расчета. Расчет эффективной податливости проводится по аналогии с определением секущего модуля с использованием метода переменных параметров упругости [6]. Процесс последовательных приближений заканчивается, когда действующие вдоль

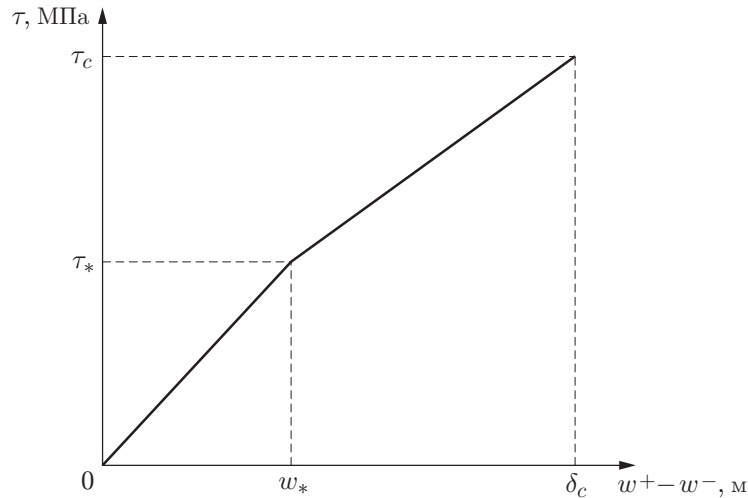


Рис. 2. Зависимость усилий сдвига связи $\tau(x)$ от разрыва смещений $w^+ - w^-$ зоны предразрушения

зоны предразрушения усилия, полученные на двух последовательных итерациях, практически не различаются. Нелинейная часть кривой деформирования связей аппроксимировалась билинейной зависимостью [7] (рис. 2). При $w^+ - w^- > w_*$ закон деформирования описывался линейной зависимостью, определяемой точками (w_*, τ_*) и (δ_c, τ_c) , причем при $\tau_c \geq \tau_*$ имела место возрастающая линейная зависимость (линейное упрочнение, соответствующее упругопластической деформации связей). В численных расчетах полагалось $M = 30$, что соответствует разбиению интервала интегрирования на 30 чебышевских узлов. Расчеты выполнены для правильных нормированных сеток центров отверстий. Исследовались случаи расположения отверстий в вершинах треугольной ($h = 1, \alpha = \pi/3$) и квадратной ($h = 1, \alpha = \pi/2$) сеток. В результате численного расчета найдены зависимости длины зоны предразрушения, усилия в связях и раскрытия противоположных берегов зоны предразрушения от параметра нагружения τ_y^∞ . При этом параметры $\tau_* = 50$ МПа, $\tau_c = 2\tau_*$, $w_* = 10^{-7}$ м, $\delta_c = 2,5 \cdot 10^{-7}$ м принимались в качестве постоянных. На рис. 3 представлена зависимость относительной длины зоны предразрушения $d = (l - \lambda)/\lambda$ от безразмерного значения интенсивности нагружения τ_y^∞/τ_* для треугольной сетки отверстий.

На рис. 4 приведена зависимость усилий в связях q_y/τ_y^∞ вдоль зоны предразрушения от безразмерной координаты $x' = (x - \lambda)/l$ для треугольной сетки отверстий.

Для определения предельно равновесного состояния зоны предразрушения, при котором появляется трещина, используется условие (3).

Предельная внешняя нагрузка, при которой в точке $x = \pm\lambda$ образуется трещина, с использованием полученного решения определяется следующим условием:

$$C(\lambda, q_y(\lambda))q_y(\lambda) = \delta_c. \quad (17)$$

Решение объединенной алгебраической системы (9), (13), (16), (17) позволяет определить критическое значение внешней нагрузки, размер зон предразрушения и усилия в связях в состоянии предельного равновесия, при котором в перфорированном теле образуются трещины.

Анализ предельно равновесного состояния перфорированного тела, при котором появляется трещина, сводится к параметрическому исследованию объединенной алгебраической системы (9), (13), (16) и критерия появления трещины (17) при различных законах де-

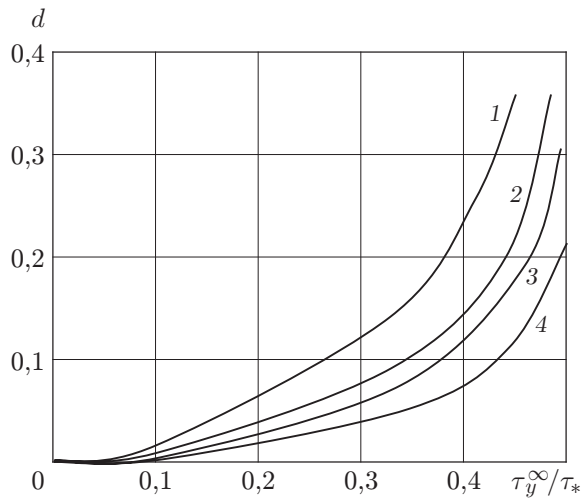


Рис. 3

Рис. 3. Зависимость относительной длины зоны предразрушения d от интенсивности нагружения τ_y^∞/τ_* при различных значениях радиуса отверстия:

1 — $\lambda = 0,2$; 2 — $\lambda = 0,3$; 3 — $\lambda = 0,4$; 4 — $\lambda = 0,5$

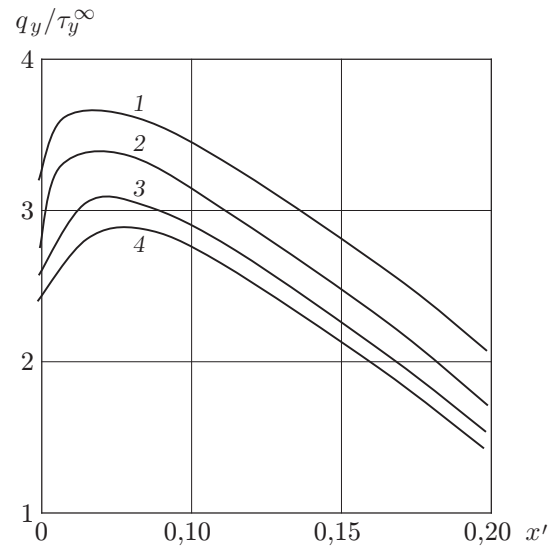


Рис. 4

Рис. 4. Зависимость усилий в связях q_y/τ_y^∞ вдоль зоны предразрушения от безразмерной координаты x' при различных значениях радиуса отверстия:

1 — $\lambda = 0,2$; 2 — $\lambda = 0,3$; 3 — $\lambda = 0,4$; 4 — $\lambda = 0,5$

формирования связей, упругих характеристиках материалов и геометрических параметрах перфорированного тела. Из решения полученных алгебраических систем непосредственно определяются усилия в связях и разрыв смещений зон предразрушения.

ЛИТЕРАТУРА

1. **Аннин Б. Д.** Упругопластическая задача / Б. Д. Аннин, Г. П. Черепанов. Новосибирск: Наука. Сиб. отд-ние, 1983.
2. **Григолюк Э. И.** Перфорированные пластины и оболочки / Э. И. Григолюк, Л. А. Фильштинский. М.: Наука, 1970.
3. **Панасюк В. В.** Распределение напряжений около трещин в пластинах и оболочках / В. В. Панасюк, М. П. Саврук, А. П. Дацышин. Киев: Наук. думка, 1976.
4. **Мирсалимов В. М.** Неоднородные упругопластические задачи. М.: Наука, 1987.
5. **Ильюшин А. А.** Пластичность. М.; Л.: Гостехтеоретиздат, 1948.
6. **Биргер И. А.** Общие алгоритмы решения задач теорий упругости, пластичности и ползучести // Успехи механики деформируемых сред. М.: Наука, 1975. С. 51–73.
7. **Гольдштейн Р. В., Перельмутер М. Н.** Моделирование трещиностойкости композиционных материалов // Вычисл. механика сплош. сред. 2009. Т. 2, № 2. С. 22–39.

Поступила в редакцию 22/VI 2010 г.,
в окончательном варианте — 21/VII 2011 г.